

اسپکتروسکوپی پلاسمایی پوشش‌های ترکیبات بین فلزی Al - Fe - Ni

مهندی صالحی
دانشیار

فخرالدین اشرفی زاده
دانشیار

مرتضی شمعانیان اصفهانی
دانشجوی دوره دکترا

دانشکده مهندسی مواد، دانشگاه صنعتی اصفهان

چکیده

نتیجه‌گیرات شیب غلظتی عنصر در پوشش‌های نفوذی Al - Fe - Ni و Fe-Al تشكیل شده بر سطح فولاد کربنی از سطح به طرف مرکز با استفاده از روش اسپکتروسکوپی پلاسمایی مورد بررسی قرار گرفته است. روش اسپکتروسکوپی پلاسمایی تکنیکی ایده‌آل و توانا جهت بررسی شیب غلظتی عنصر در پوشش‌های نفوذی است و می‌تواند تکمیل کننده نتایج XRD و EDX باشد. استفاده از ترکیب روش‌های لایه برداری XRD و EDX به منظور بررسی و شناسایی فازهای فازهای عناصر و سایر مزایای مربوطه، روشنی مشکل و از دقت پایینی برخوردار است. روش GDOS با توجه به نرخ پراکنش بالای آن، توانایی آنالیز کلیه عناصر و سایر مزایای مربوطه، روشنی آسان و سریع به منظور بررسی لایه‌های نفوذی تشكیل شده بر سطح نمونه‌های پوشش داده می‌باشد. بررسی پوشش‌های مزبور توسط اسپکتروسکوپی پلاسمایی بیانگر نفوذ متقابل Fe و Al در فصل مشترک پوشش و زمینه و همچنین نفوذ سربالایی C و Si و Ni می‌باشد.

Glow Discharge Optical Spectroscopy of Fe-Al and Fe-Al-Ni Intermetallic Coatings

F. Ashrafizadeh
Associate Professor

M. Salehi
Associate Professor

M. Shamanian
Ph.D. Student

Department of Materials,
Isfahan University of Technology

Abstract

The chemical compositional gradient of the elements in Fe-Al and Fe-Al-Ni coated carbon steel substrate has been analysed by the GDOS technique. The GDOS proved to be an ideal technique which can be used to study the depth profile concentration in relatively thick diffusion coating with much improved analytical speed.

The analysis reveals that the Al, Fe elements interdiffuse inversely at the coating substrate interface. Furthermore, these results indicate diffusion elements such as C, Si, Ni are mainly controlled by up - hill diffusion mechanism.

مقدمه

صورت طول موج های متعدد به دستگاه ثبات ارسال و در آنجا به صورت شدت نسبی بر حسب طول موج و یا شدت نسبی برحسب زمان نشان داده می شوند. لذا بر این مبنای که شدت هر طیف مشخصی از یک عنصر هدف متناسب با دانسیته آن عنصر در ناحیه ایست که تحت پلاسمای قرار گرفته، در نتیجه درصد وزنی آن عنصر مشخص می گردد، همچنین با مشخص بودن نرخ پراکنش می توان محور افقی (زمان) را به صورت فاصله از سطح نمونه در جه بندی نمود. نرخ پراکنش بستگی به ولتاژ، جریان و ترکیب شیمیایی نمونه داشته و معمولاً بین $1\text{--}10 \mu\text{m/min}$ است [۶]. در جدول ۱ توانایی های GDOS با چند روش آنالیز سطحی دیگر مقایسه شده است [۷].

روش GDOS در مقایسه با سایر روش ها دارای مزایا و معایب زیر می باشد [۸] :

- توانایی آنالیز کلیه عناصر (حتی O, N و H).
- عدم نیاز به خلاء بالا.
- سهولت روش و سریع بودن آن.
- هزینه های اولیه و راه اندازی کمتر در مقایسه با سایر روش ها.
- توانایی بررسی سریع پروفیل غلظتی در لایه های نازک در حد نانومتر تا لایه های ضخیم در حد چند ده میکرومتر.
- استفاده در محیط های صنعتی به منظور بررسی کیفیت.

- هیچگونه اطلاعاتی در رابطه با باندهای شیمیایی نمی دهد.

- عدم امکان اندازه گیری مستقیم عمق پراکنش یافته.

- نمونه با ایست هادی یا نیمه هادی باشد، با توسعه های اخیر در روش (r.f glow discharge) آنالیز مواد غیر هادی نیز امکان پذیر است.

۳- نتایج و بحث

بررسی سطح مقطع متالوگرافی نمونه های فولادی که فقط آلومینایز شده اند، نشان می دهد که بر سطح آنها لایه هایی از ترکیبات بین فلزی Fe-Al با ضخامت مجموعاً $110 \mu\text{m}$ تشکیل گردیده است، ساختار میکروسکوپی مربوطه در شکل ۲ نشان داده شده است. آزمایش های پراش پرتوایکس با استفاده از تکنیک لایه برداری بر روی هر سه لایه تشکیل شده بر سطح انجام

سیستم GDOS امروزه یکی از پیشرفته ترین دستگاه های آنالیز شیمیایی محسوب می گردد که قادر به آنالیز تغییرات عناصر در لایه های نازک، در فصل مشترک لایه با زیر لایه و در حجم می باشد [۱-۳].

در کار تحقیقاتی حاضر روش GDOS به منظور بررسی پوشش های نفوذی ترکیبات بین فلزی Al و Fe-Al-Ni تشکیل شده بر سطح فولاد ابزار کربنی مورد استفاده قرار گرفته است.

۲- مواد و روش تحقیق

نمونه هایی از فولاد ابزار کربنی W C 60 (شماره استاندارد ۱.۱۷۴۰) پس از سنباده زنی و اسیدشویی تحت عملیات پوشش دهی قرار گرفتند. به منظور تشکیل ترکیبات بین فلزی Al از روش پودر فشرده همراه با آنلیل نفوذی استفاده گردید [۴-۵] و برای تشکیل ترکیبات بین فلزی Fe-Al-Ni ابتدا بر روی تعدادی از نمونه های فولادی پوشش نیکلی به ضخامت های ۲ و $40 \mu\text{m}$ به روش الکتروپلیتینگ ایجاد شد و سپس فرآیند آلومینایزینگ همراه با آنلیل نفوذی در دما و زمان های مختلف انجام گردید [۴-۵]. پس از عملیات پوشش دادن و نفوذ آزمایش های متالوگرافی، پراش پرتوایکس (XRD)، میکروآنالیز (EDX) و اسپکتروسکوپی پلاسمایی (GDOS) به منظور شناسایی فازها و ساختار انجام گرفت.

مکانیزم کار دستگاه GDOS در شکل ۱ نشان داده شده است [۲]. نمونه در یک محفظه کم فشار به عنوان کاولد قرار گرفته و گاز آرگون وارد محفظه می شود. با اعمال یک ولتاژ نسبتاً بالا بین آند و کاتد (۵۰۰-۷۰۰ V)، گاز آرگون یونیزه شده و یون های شتابدار آن نمونه را بمباران می نمایند. در نتیجه این اتم های هدف از سطح جدا گردیده و به دنبال آن در هاله پلاسمای برانگیخته می شوند. کنده شدن اتم های هدف منجر به ایجاد حفره هایی می گردد که توسط میکروسکوپ الکترونی و یا حتی میکروسکوپ نوری قابل رویت می باشند. الکترون های حاصل از اتم های برانگیخته شده مزبور توسط مجموعه ای از آینه های مسطح و مقعر، کانونی و هدایت گردیده و گسیل آنها به صورت متصل به یک اسپکترومتر صورت می گیرد. سپس الکترون ها به صورت تک رنگ به یک تکثیر کننده فوتون های هدایت می شوند. بالاخره بعد از طی مراحل مختلفی آنها به

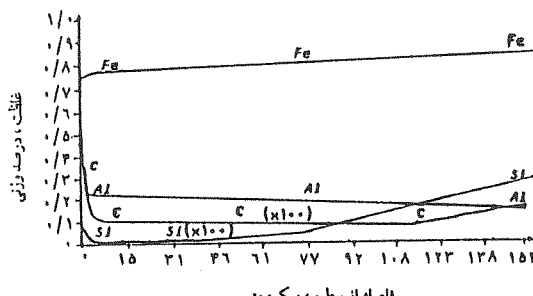
$250\text{ }\mu\text{m}$ دارد. آزمایش‌های پراش پرتوایکس با استفاده از تکنیک لایه برداری بر روی هر دو لایه انجام گرفت که نتایج حاصل بیانگر تشکیل NiAl در لایه اول و FeAl در لایه دوم می‌باشد: همین نمونه با استفاده از روش اسپکتروسکوپی پلاسمایی مورد بررسی قرار گرفت که در شکل ۵ نشان داده شده است. باتوجه به تغییرات غلظت Al و Ni تا حدود $100\text{ }\mu\text{m}$ و مقایسه آن با دیاگرام های فازی $\text{Fe}-\text{Al}-\text{Ni}$ و $\text{Al}-\text{Ni}$ نتیجه می‌گردد که لایه اول ترکیب بین فلزی NiAl خواهد بود. همچنین تغییرات غلظت Al و Fe از عمق $100\text{ }\mu\text{m}$ تا $250\text{ }\mu\text{m}$ مقایسه آن با دیاگرام فازی $\text{Fe}-\text{Al}$ بیانگر تشکیل FeAl در لایه دوم می‌باشد. شبی غلظتی آرام در پوشش‌های نفوذی تشکیل شده بر سطح فولاد سبب ایجاد شبی سختی آرام گردیده است و بتایر این پوشش‌های مزبور از چسبندگی مناسبی با زمینه برخوردارند. تشکیل ترکیب بین فلزی AlNi در اولین لایه بیانگر نفوذ به طرف خارج نیکل در طی فرآیند آلومینایزینگ در دمای 1050°C می‌باشد که باتوجه به نحوه تغییرات غلظت Ni در لایه نفوذی (شکل ۵) نفوذ به طرف خارج نیکل کاملاً مشهود می‌باشد [۱۰]. تغییرات غلظت کربن و سیلیسیم نیز بیانگر تمایل کربن و سیلیسیم برای انباسته شدن در سطح می‌باشد.

۴- نتیجه‌گیری

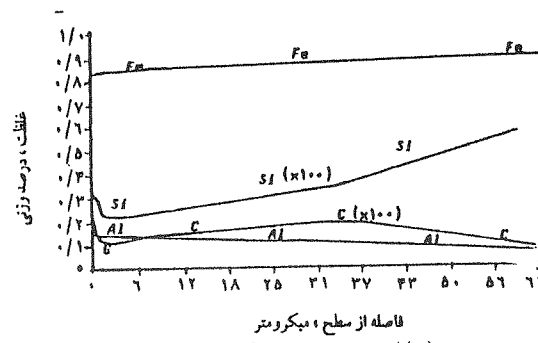
در این پژوهش نتایج زیر حاصل گردید:

- روش اسپکتروسکوپی پلاسمایی (GDOS) روشی توانا به منظور بررسی تغییرات غلظت عنصر در پوشش‌های نفوذی می‌باشد.
- با استفاده از روش اسپکتروسکوپی پلاسمایی بررسی شبی غلظتی عنصر به طور پیوسته در لایه‌های نفوذی امکان پذیر است.
- در طی فرآیند آلومینایزینگ همراه با آنیل نفوذی بهینه ساختار دولایه‌ای متکل از ترکیبات بین فلزی $\text{Fe}-\text{Al}$ بر سطح نمونه‌های فولادی آلومینایز شده و ساختار دو لایه‌ای متکل از ترکیبات بین فلزی $\text{Fe}-\text{Al}-\text{Ni}$ بر سطح نیکلی بر سطح آنها آلومینایز شده‌اند، ایجاد پوشش نیکلی بر سطح آنها آلومینایز شده‌اند، ایجاد جزئیات پوشش‌های تشکیل می‌گردد. بررسی جزئیات پوشش‌های حاصل با استفاده از روش اسپکتروسکوپی پلاسمایی به نحو بسیار عالی امکان پذیر است.
- بررسی نتایج حاصل شده بیانگر نفوذ متقابل Al و

گرفت. نتایج آزمایش‌ها بیانگر تشکیل Fe_2Al در لایه اول و Fe_3Al در لایه‌های بعدی می‌باشد. همین نمونه با استفاده از روش اسپکتروسکوپی پلاسمایی مورد بررسی قرار گرفت که در شکل ۳ نشان داده شده است. مشاهده می‌گردد که غلظت Al و Fe در حد فاصل لایه اول به نسبت $50\text{ }\mu\text{m}$ درصد وزنی Al و $50\text{ }\mu\text{m}$ درصد وزنی Fe می‌باشد که مناسب جهت تشکیل Fe_2Al می‌باشد (با مقایسه با دیاگرام فازی). پس از آن افت شدیدی در غلظت Al مشاهده می‌گردد که باتوجه به تغییرات غلظت Al و Fe و مقایسه آن با دیاگرام فازی معلوم $\text{Fe}-\text{Al}$ می‌شود که لایه‌های بعدی باقیستی Fe_3Al و FeAl بر سطح باشند. تشکیل ترکیب بین فلزی Fe_2Al بر سطح نمونه‌های آلومینایز شده و همچنین شبی تغییرات شدید در غلظت Al و Fe در فصل مشترک پوشش - زیر لایه که سبب ایجاد شبی تغییرات شدید در پروفیل سختی می‌گردد، بیانگر لزوم استفاده از عملیات آنیل نفوذی بر روی نمونه‌ها می‌باشد. پس از فرآیند آلومینایزینگ نمونه‌های فولادی، به منظور تشکیل ترکیبات بین فلزی مناسب بر سطح، تحت عملیات آنیل نفوذی به مدت $30\text{ }^{\circ}\text{C}$ ساعت در دمای $900\text{ }^{\circ}\text{C}$ قرار گرفتند. انجام آزمایش‌های پراش پرتوایکس بیانگر تشکیل FeAl در لایه اول و Fe_2Al در لایه دوم می‌باشد. همین نمونه با استفاده از روش اسپکتروسکوپی پلاسمایی مورد بررسی قرار گرفت که در شکل ۴ نشان داده شده است. مشاهده می‌گردد که انجام عملیات آنیل نفوذی علاوه بر افزایش عمق نفوذ، سبب کاهش غلظت Al و Fe می‌شود. از مقایسه آن با دیاگرام $\text{Fe}-\text{Al}$ چنین استنباط می‌شود که تا عمقی حدود $100\text{ }\mu\text{m}$ نسبت Fe در گستره لازم $250\text{ }\mu\text{m}$ است و از عمق $100\text{ }\mu\text{m}$ تا $250\text{ }\mu\text{m}$ این نسبت در محدوده مناسب برای تشکیل Fe_3Al می‌باشد. نفوذ متقابل آهن و آلومینیوم نقش مهمی را در چسبندگی پوشش به زیر لایه ایفا می‌نماید. مشاهده تغییرات غلظت کربن و سیلیسیم در فوائل نزدیک به سطح نشان دهنده تمایل کربن و سیلیسیم برای انباسته شدن در سطح می‌باشد. پدیده حرکت یک عنصر در خلاف شبی غلظتی خود به «نفوذ سربالایی»^(۱) موسوم بوده و در سیستم $\text{Fe}-\text{C}-\text{Si}$ مشاهده گردیده است [۹]. سطح مقطع متالوگرافی نمونه فولادی که پس از ایجاد $20\text{ }\mu\text{m}$ پوشش نیکلی آن در دمای $1050\text{ }^{\circ}\text{C}$ آلومینایز شده، بیانگر آن است که پوشش حاصل از دو لایه تشکیل شده که در مجموع ضخامتی در حدود

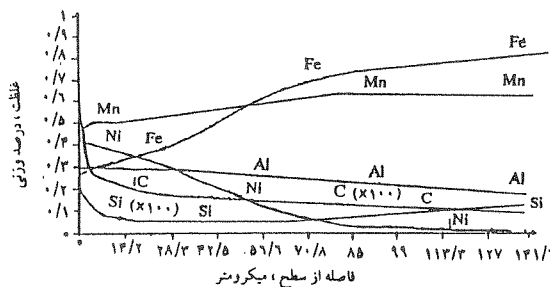


(الف) از سطح تا عمق $141 \mu\text{m}$

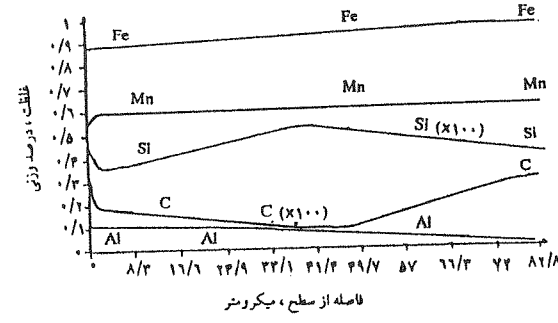


(ب) از عمق $141 \mu\text{m}$ تا حدود $222 \mu\text{m}$

شکل (۳) نمودار تغییرات غلظت عنصرها در پوشش‌های نفوذی آلمینیم تشکیل شده بر سطح نمونه فولادی که پس از آلمینیزینگ به مدت 30 ساعت آنیل نفوذی شده است.



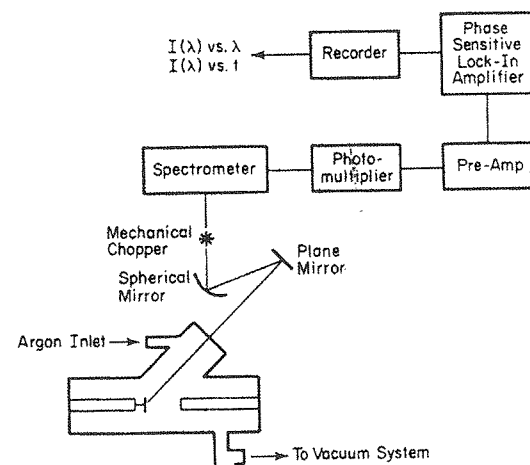
(الف) از سطح تا عمق $141 \mu\text{m}$



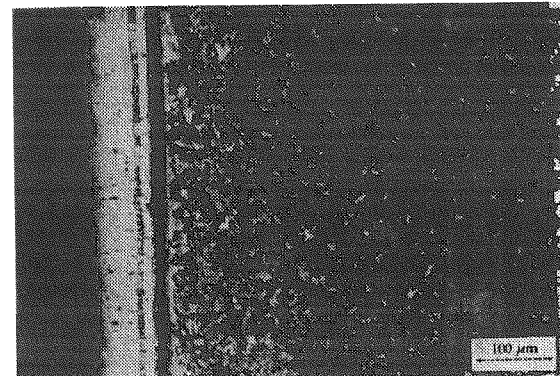
(ب) از عمق $141 \mu\text{m}$ تا حدود $222 \mu\text{m}$

شکل (۵) نمودار تغییرات غلظت عنصرها در پوشش‌های نفوذی آلمینیم. نیکل تشکیل شده بر سطح نمونه فولادی که پس از ایجاد $20 \mu\text{m}$ پوشش نیکلی بر سطح آن در دمای 50°C آلمینیز شده است.

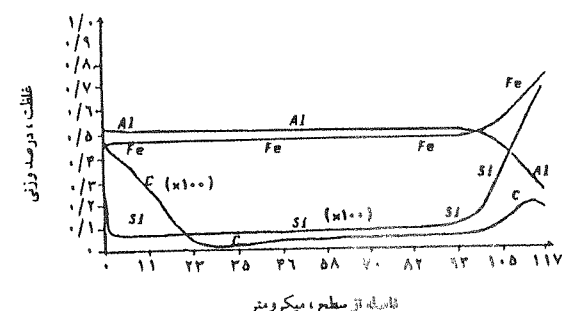
در فصل مشترک پوشش - زیر لایه و نفوذ به طرف خارج C و Si, C و Ni می‌باشد.



شکل (۱) نمایش شماتیک مکانیزم آنالیز در سیستم GDOS



شکل (۴) ریز ساختار پوشش‌های نفوذی آلمینیم بر روی فولاد.



ناصله از سطح، میکرومتر

شکل (۶) نمودار تغییرات غلظت عنصرها در پوشش‌های نفوذی آلمینیم تشکیل شده بر سطح فولاد آلمینیز شده.

جدول (۱) مقایسه تکنیک های آنالیز سطوح [۷]

Parameter	Technique				
	AES	XPS	RBS	SIMS	GDOES
Excitation	electrons	X-rays	ions	ions	ions
Emission	electrons	electrons	ions (E)	ions (m/e)	$h\nu$ (optical)
Typical information depth (nm)	1	1	1-1000	0.6	10
Lateral resolution	15 nm- 30 μ m	5 μ m- 10 mm	1 mm	50 nm- 10 mm	1 mm- 10 mm
Detect limit	0.1 at%	0.1 at%	0.1 at%	1 ppb-10 ppm	1 ppm
Detect elements	All except H, He		All except H	All	All
Chemical bond	yes	yes	no	yes	no

زیرنویس‌ها

1 - Uphill Diffusion

مراجع

- [1] T. Bell and Y. Sun, Proceeding of the 5th World Seminar on Heat Treatment and Surface Engineering, IFHT 95, Isfahan, IRAN (1995), pp. 21.
- [2] J. E. Greene and J. M. Whelan, J. Appl. Phys. 1973, Vol. 44, No. 9 . pp. 2509.
- [3] M. Y. Al-Jaroudi et al., Thin Solid Films, 1991, pp. 195.
- [۴] مرتضی شمعانیان اصفهانی، مهدی صالحی و فخرالدین اشرفی زاده، سمپوزیوم فولاد، دانشگاه صنعتی اصفهان، ۳ الی ۵ مهر ماه ۱۳۷۵ ، صفحه ۳۸۶
- [۵] مرتضی شمعانیان اصفهانی، مهدی صالحی، فخرالدین اشرفی زاده، نشریه
- علمی - پژوهشی امیرکبیر، سال نهم ، شماره ۳۴، ۱۳۷۶ ، صفحه ۱۲۷
- [6] A. Bengtson, Spectrochim, Acta, 1994, 49B, pp. 411.
- [7] S. Hofman, in ASM Handbook, Vol. 5, Surface Engineering, 1994, pp. 669.
- [8] Glow Discharge Spectroscopies, Ed. R. K. Marcus, Plenum Press, New York, 1983.
- [9] P. Shewman, Diffusion in Solids, 1989, USA, TMS.
- [10] R. Pichoir, Materials and Coatings to Resist High Temperature Corrosion, 1978, Applied Science Publishers.